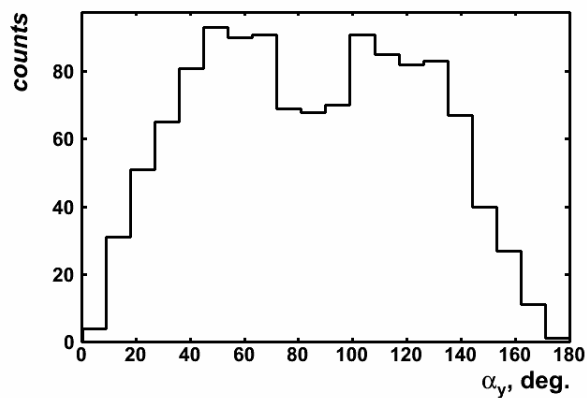
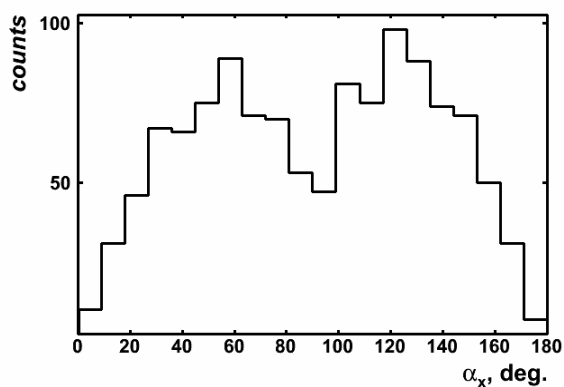
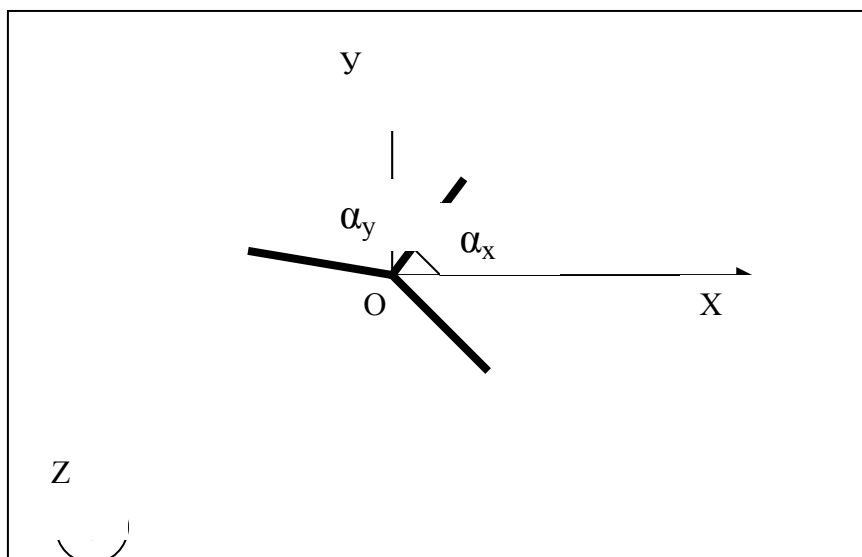
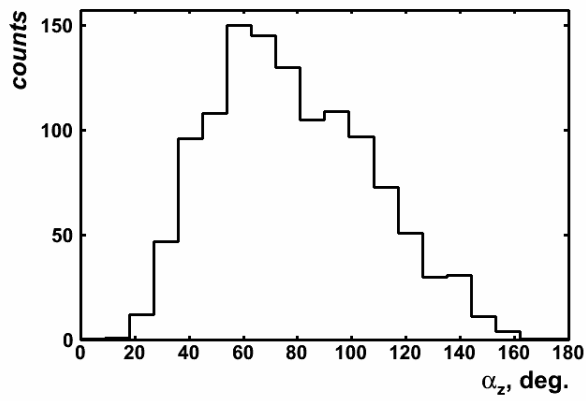
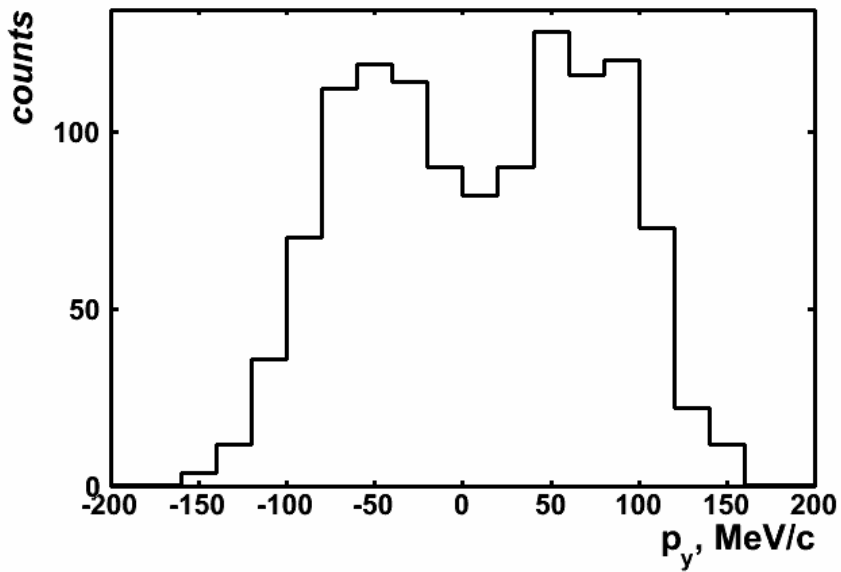
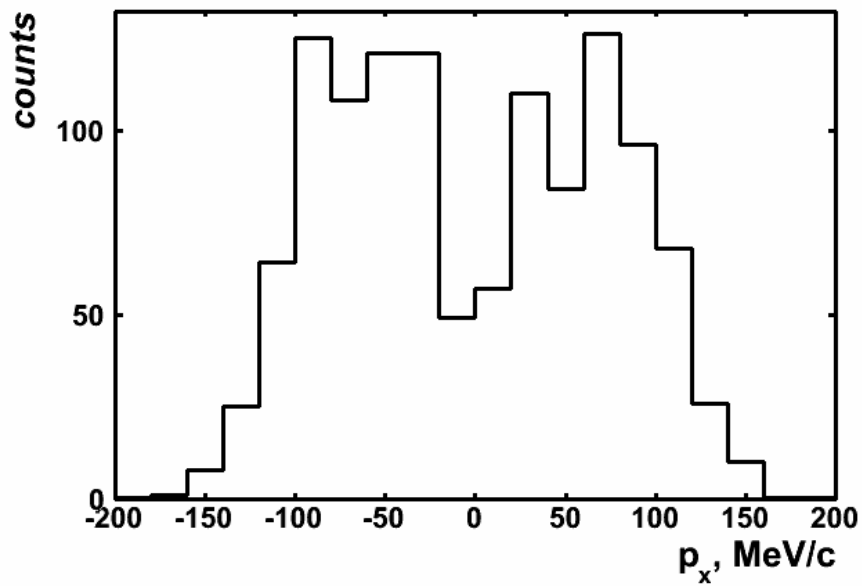


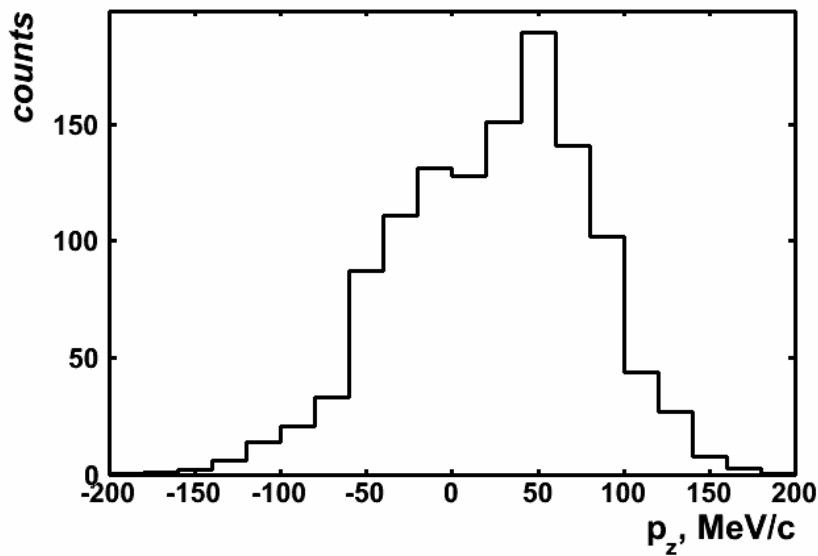
На рисунках представлены распределения по углам вылета альфа-фрагментов относительно осей координат в фотоэмульсии. Направление осей OX , OY не является строго фиксированным, поскольку угол между направлением перемещения координатного столика и направлением внешней грани пластинки не является постоянным. Этим и может объясняться различие в распределениях по углам альфа для осей OX , OY и оси OZ (угол в вертикальной плоскости в меньшей степени зависит от положения пластинки на столе).





Соответствующие распределения по компонентам импульса для 400 событий $^{12}\text{C}-3\alpha$





Ниже приведен фрагмент тестового файла C12_3alpha_px_py_pz.dat

```

-23.88 50.4 -160.1 47.04 66.17 -120.4 -40.38 -112.1 -31.01
-87.12 76.23 -12.35 81.11 2.636 -92.02 -48.08 -96.15 5.454
-13.87 140.4 -66.8 98.36 -11.07 36.76 -28.85 -53.37 -67.22
-129.7 57.23 -56.39 55.42 36.39 -112.8 54.04 -76.19 -25.78
-120.7 -25.15 3.881 14.58 145.8 -38.81 72.88 -9.717 -77.3
-63.02 -37.81 35.04 5.858 75.28 47.22 87.74 -15.21 -5.419
-151.2 19.94 36.79 32.5 56.87 -42.25 50.58 -45.52 -77.36
-106.7 -50.8 -2.046 -81.81 42.27 -27.19 118.4 -9.475 -38.99

```

В столбцах приведены в единицах МэВ/с компоненты импульсов 3 альфа-фрагментов

p_{x1} , p_{y1} , p_{z1} , p_{x2} , p_{y2} , p_{z2} , p_{x3} , p_{y3} , p_{z3}

Используя данный файл можно воспроизвести распределение по $Q_{2\alpha}$

